

**МЕХАНИКА  
ТВЕРДОГО ТЕЛА**  
**№ 4 • 2001**

УДК 624.042:519.2

© 2001 г. О.В. НОВИКОВА, О.В. ТРИФОНОВ

**ВЛИЯНИЕ НАКОПЛЕНИЯ ПОВРЕЖДЕНИЙ НА СОПРОТИВЛЕНИЕ  
КОНСТРУКЦИЙ СЕЙСМИЧЕСКИМ ВОЗДЕЙСТВИЯМ**

Исследовано влияние накопления повреждений в несущих конструкциях на их динамическое поведение при интенсивных сейсмических воздействиях и на характеристики их свойств после землетрясения. Принята модель упругопластического деформирования междуэтажных блоков с учетом деформационного и циклического разупрочнения и снижения жесткости при разгрузке. Ускорение основания представлено в виде реализации стационарного случайного процесса с заданной спектральной плотностью, умноженной на "псевдоогибающую". Особое внимание уделено влиянию повреждений на максимальные значения абсолютных перемещений и междуэтажных сдвигов, а также на параметры окончательного состояния. Показано, что снижение жесткости по отношению к квазистатическим горизонтальным силам и снижение собственных частот поврежденной конструкции могут быть использованы как диагностические параметры состояния конструкции после интенсивного сейсмического воздействия.

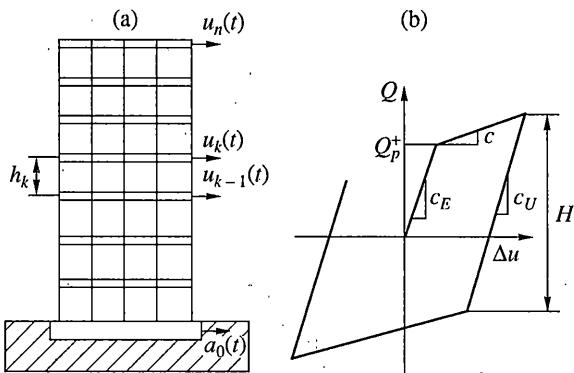
1. Для описания реакции многоэтажного здания на горизонтальное сейсмическое воздействие примем сдвиговую модель [1–3]. Междуэтажные перекрытия трактуем как жесткие диски, допускающие взаимные горизонтальные смещения за счет податливости системы колонн с примыкающими стеновыми элементами и связями. Вся масса приводится к междуэтажным перекрытиям. При условии, что ускорение основания  $a_0(t)$  направлено вдоль одной из главных осей жесткости  $n$ -этажного здания, получим систему с  $n$  степеней свободы (фиг. 1, a). В качестве обобщенных координат примем горизонтальные смещения этажей относительно основания  $u_1, \dots, u_n$ . Уравнения движения системы имеют вид

$$\begin{aligned} m_k u''_k + b_k(u'_k - u'_{k-1}) + b_{k+1}(u'_k - u'_{k+1}) + Q - Q_{k+1} - \sum_{j=k}^n (m_j g / h_k)(u_k - u_{k-1}) - \\ - \sum_{j=k+1}^n (m_j g / h_{k+1})(u_k - u_{k+1}) = -m_k a_0(t) \quad (1.1) \\ (k=1, \dots, n), \quad b_{n+1} = 0, \quad Q_{n+1} = 0, \quad u_0 = u_{n+1} = 0 \end{aligned}$$

где  $h_k$  – высота  $k$ -го этажа,  $m_k$  – масса  $k$ -го этажа и присоединенных к нему элементов конструкции,  $b_k$  – коэффициент демпфирования для  $k$ -го междуэтажного блока,  $g$  – ускорение свободного падения,  $Q_k$  – силы сопротивления междуэтажному сдвигу. В уравнениях (1.1) слагаемые под знаком суммы учитывают  $P - \Delta$ -эффект, т.е. влияние веса вышележащих частей здания на изгиб стоек.

Представим ускорение основания сооружения при землетрясении зависимостью

$$a_0(t) = A_0(t/t_0) \exp(-t/t_0)\phi(t) \quad (1.2)$$



Фиг. 1

Здесь параметр  $A_0$  характеризует максимальные ускорения, параметр  $t_0$  – продолжительность интенсивной фазы,  $\phi(t)$  – реализация некоторого стационарного эргодического случайного процесса.

Для спектральной плотности процесса  $\phi(t)$  примем зависимость

$$S_\phi(f) = \frac{2}{\pi} \frac{f_1 f_0^2}{(f^2 - f_0^2)^2 + 4f_1^2 f^2} \quad (1.3)$$

где  $f, f_0, f_1$  – частоты, измеряемые в Гц. Параметр  $f_0$  представляет собой доминантную частоту движения на площадке, параметр  $f_1$  характеризует ширину спектра. Модель ускорения грунта при землетрясении, заданная соотношениями (1.2) и (1.3), была предложена в работах [4–6].

2. Зависимость между  $Q_k$  и  $\Delta u_k = u_k - u_{k-1}$  определяется характером деформирования несущих элементов конструкции для  $k$ -го этажа. При сильных землетрясениях в конструкциях зданий возникают неупругие деформации, связанные с пластическим деформированием колонн и ригелей, возникновением трещин в панелях и т.д. Учет этих факторов требует использования нелинейных моделей при исследовании реакции сооружений. В настоящее время предложены различные зависимости, отражающие нелинейный характер деформирования конструкций [7, 8]. Для строений с железобетонным каркасом может использоваться билинейная модель, которая при отсутствии упрочнения превращается в идеальную упругопластическую диаграмму. Среди нелинейных моделей наиболее известна диаграмма Рамберга – Осгуда, определяющая степенную зависимость  $\Delta u = f(Q)$ .

При сильном сейсмическом воздействии происходит снижение жесткости здания, которое выражается в уменьшении собственных частот колебаний поврежденной конструкции [9, 10]. В отдельных случаях это приводит к выходу здания из резонансной области и помогает сооружению выдержать землетрясение. Кроме того, с увеличением поврежденности возрастает способность конструкции поглощать энергию сейсмического воздействия. Следовательно, важным фактором при анализе сейсмостойкости сооружений является учет повреждений.

Для зданий с железобетонным каркасом повреждения возникают в матрице и арматуре в различных сочетаниях. Разные предельные состояния элементов конструкции соответствуют разным типам повреждений. Поэтому возможен различный выбор меры повреждений. Обзор некоторых подходов содержится в [11, 12]. Один из вариантов – принять в качестве меры повреждений несущей конструкции на каждом этаже сумму пластических междуэтажных перемещений

$$D_1 = \frac{1}{u_*} \sum |\Delta u| \quad (2.1)$$

где  $u_*$  – некоторое характерное значение накопленной пластической деформации. Индекс, соответствующий номеру этажа в формуле (2.1), опущен. Суммирование ведется по полуциклам нагружения. Другой вариант зависимости описывается соотношением

$$D_1 = \frac{1}{W_*} \int Q d\Delta u \quad (2.2)$$

которое выражает повреждения через работу сил сопротивления междуэтажному сдвигу. В формуле (2.2)  $W_*$  – характерный параметр, имеющий размерность энергии. Параметры  $u_*$  и  $W_*$  в формулах (2.1) и (2.2) подбираются так, что полностью поврежденной конструкции соответствует величина  $D = 1$ . Обе зависимости вводят кумулятивные меры, учитывающие циклический характер повреждений [12]. Для описания повреждений, вызванных большими деформациями одного знака, естественно использовать квазистатическую меру повреждений

$$D_2 = \max |\Delta u| / u_* \quad (2.3)$$

где  $u_*$  – предельное значение взаимного перемещения соседних этажей здания.

В железобетонных конструкциях повреждения могут быть вызваны как циклически меняющимися деформациями, так и значительными деформациями одного знака. Следовательно, в качестве меры повреждений нужно принять некоторую комбинацию мер  $D_1$  и  $D_2$ , например

$$D = (D_1^2 + D_2^2)^{\frac{1}{2}} \quad (2.4)$$

Рассмотрим модель с линейным упрочнением и обобщенным эффектом Баушингера (фиг. 1, б). Здесь  $c_E$  – начальный упругий параметр,  $c$  – параметр упрочнения,  $c_U$  – параметр разгрузки,  $Q_p$  – сила сопротивления междуэтажному сдвигу, отвечающая началу пластического деформирования. Учтем влияние повреждений с помощью зависимостей

$$c = c_0(1 - \lambda D^\beta), \quad c_U = c_{U0}(1 - \mu D^\delta) \quad (2.5)$$

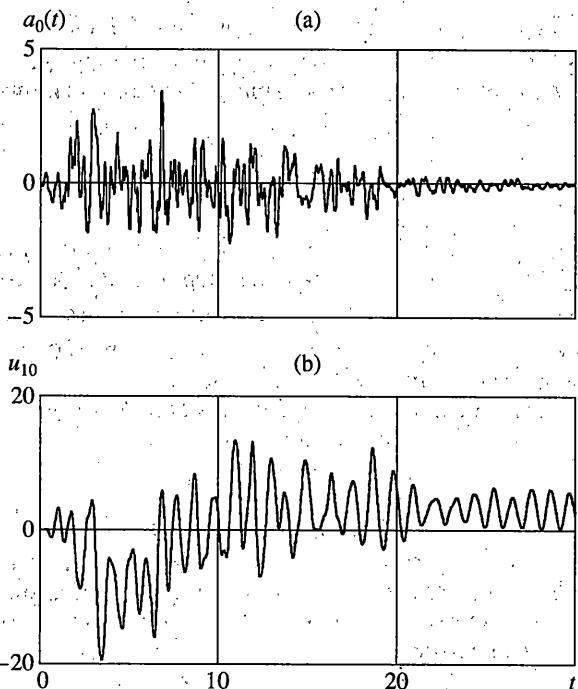
записанных для каждого этажа (индекс, соответствующий номеру этажа в формулах опущен). Здесь  $c_0$ ,  $c_{U0}$  – значения параметров упрочнения и разгрузки для неповрежденной конструкции,  $0 \leq \mu < 1$ ,  $\lambda, \beta, \delta \geq 0$  – заданные постоянные. Если для микроповреждений принята зависимость (2.1), то формулы (2.5) описывают циклическое разупрочнение, вызванное накопление повреждений в системе в ходе сейсмического воздействия. Модель должна быть дополнена соотношением

$$Q_p^+ - Q_p^- = H = H_0(1 - vD^\gamma) \quad (2.6)$$

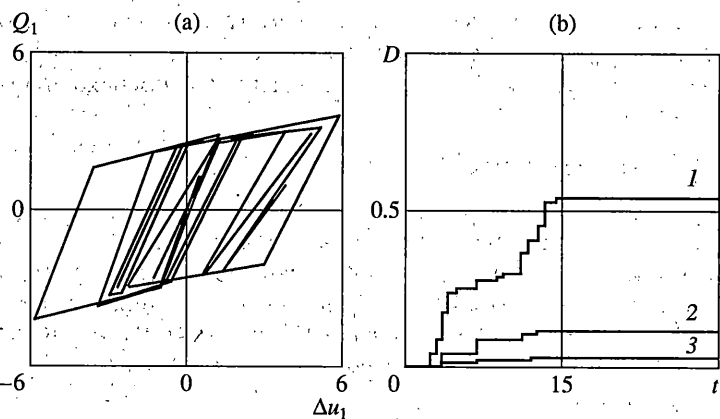
определяющим влияние повреждений на размер области разгрузки. Здесь  $H_0$  относится к неповрежденному состоянию. В многомерном случае зависимость (2.6) соответствует циклическому сжатию поверхности нагружения. Таким образом, предложенная модель включает комбинацию кинематического и изотропного упрочнения.

3. Движения грунта при землетрясениях и динамическая реакция сооружений представляют собой реализации случайных процессов. Оценка надежности конструкций при сейсмических воздействиях является задачей статистической динамики [6, 13], а получение численных результатов требует применения методов статистического моделирования [2, 8, 14]. В данной работе ограничимся изучением динамики конструкции при типичных сейсмических воздействиях, соответствующих шкале Медведева – Шпонхоера – Карника.

Численное моделирование проводилось для десятиэтажного здания при следующих значениях параметров расчетной схемы. Высота этажей  $h = 3$  м, приведенная масса

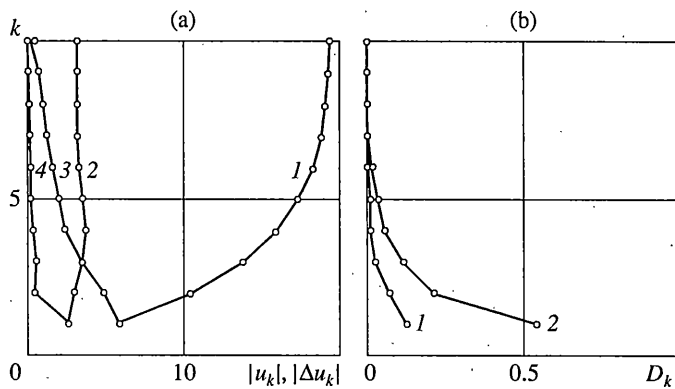


Фиг. 2

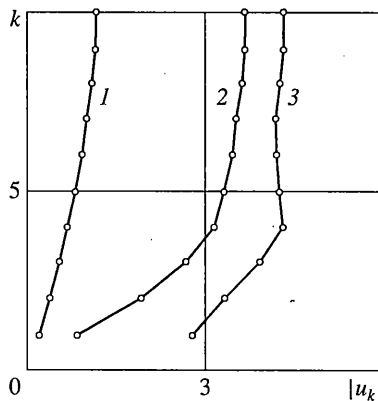


Фиг. 3

$k$ -го этажа  $m_k = m_n + 0.1m_n(n - k)$ , коэффициент жесткости при упругом междуэтажном сдвиге на уровне  $k$ -го этажа  $c_{Ek} = c_{En} + 0.05c_{En}(n - k)$ . Параметры верхнего этажа имеют значения  $m_n = 10^5$  кг,  $c_{En} = 2 \cdot 10^8$  Н/м. Предельное значение взаимных перемещений соседних этажей, до которого работает стойка остается чисто упругой  $\Delta u_p = 0.01$  м. Отношение коэффициента упрочнения к начальному упругому коэффициенту принято  $c_k/c_{Ek} = 0.1$ . Начальное значение коэффициента разгрузки  $c_{Uk} = c_{Ek}$ . В формуле (2.1) принято  $u_* = 0.5$  м. Коэффициенты  $\beta$ ,  $\delta$ ,  $\gamma$ ,  $\lambda$ ,  $\mu$  в формулах (2.5), (2.6) приняты равными 1.0, коэффициент  $v = 0.5$ . Размерный коэффициент демпфирования для всех междуэтажных блоков примем  $b_k = 1.25 \cdot 10^6$  кг/с, что соответствует демпфированию, имеющему порядок 0.1 от критического значения.



Фиг. 4



Фиг. 5

Сейсмическое воздействие, заданное как ускорение основания конструкции, описывается соотношениями (1.2) и (1.3). Численное моделирование реализаций стационарного гауссовского процесса  $\phi(t)$  с заданной спектральной плотностью осуществлялось стандартным методом. При моделировании выбраны следующие численные данные: доминантная частота воздействия  $f_0 = 2$  Гц, относительный параметр широкополосности  $f_1/f_0 = 0.5$ . Параметр псевдоогибающей  $t_0 = 5$  с, параметр  $A$  принимал значения 1, 2 и 4 м/с<sup>2</sup>, что соответствует сейсмическим воздействиям интенсивностью 7, 8 и 9 баллов по сейсмической шкале Медведева – Шпонхоера – Карника.

Фиг. 2–4 иллюстрируют реакцию здания на воздействие землетрясения интенсивностью 9 баллов. На фиг. 2, а показан отрезок реализации процесса  $a_0(t)$ . По оси абсцисс отложено время  $t$ , измеренное в секундах, по оси ординат – ускорение основания  $a_0(t)$  в м/с<sup>2</sup>. На фиг. 2, б показаны перемещения десятого этажа  $u_{10}$ , измеренные в см, в зависимости от времени  $t$ , с. Максимальные перемещения достигают значений 20 см и приходятся на первые 15 с воздействия. После окончания воздействия конструкция имеет значительные остаточные перемещения. На фиг. 3, а приводится диаграмма  $Q - \Delta u$  для первого этажа. Сила  $Q_1$  измеряется в МН, перемещение  $\Delta u_1$  в см. Заметно влияние повреждений на характер работы несущей конструкции, которое выражается в циклическом разупрочнении и снижении модуля разгрузки. На фиг. 3, б показан процесс накопления повреждений для систем колонн первого, третьего и пятого этажей здания (кривые 1, 2, 3 соответственно). Наиболее интенсивно по-

вреждаются несущие конструкции первого этажа. Распределения по этажам максимальных за время воздействия перемещений  $\max |u_k|$  и остаточных перемещений  $\max |u_k^0|$  приводятся на фиг. 4, а (кривые 1 и 2 соответственно). Кривая 3 отражает распределение по этажам максимальных за время воздействия междуэтажных сдвигов  $\max |\Delta u_k|$ . Кривая 4 соответствует остаточным междуэтажным сдвигам  $|\Delta u_k^0|$ . Все значения заданы в см.

4. Один из подходов к оценке степени поврежденности конструкции основан на сравнении собственных частот колебаний конструкции до и после землетрясения [9, 12]. Принятая в данной работе модель учитывает эффект уменьшения собственных частот колебаний конструкции при сильных сейсмических воздействиях. Это достигается на счет зависимостей (2.5) и (2.6), описывающих деградацию жесткости.

$I$	$\omega_1$	$\omega_2$	$\omega_3$	$\max  u_{10} $	$\max  u_1 $	$D_1$
$I = 0$	1.08	2.921	4.748	—	—	—
$I = 7$	1.08	2.921	4.748	7.003	0.968	0
$I = 8$	1.054	2.867	4.677	11.69	3.454	0.126
$I = 9$	0.935	2.628	4.358	19.23	5.829	0.542

В качестве иллюстрации рассмотрим результаты моделирования для десятиэтажного здания при сейсмических воздействиях интенсивностью 7, 8 и 9 баллов. В приведенной таблице показаны три низшие собственные частоты здания до ( $I = 0$ ) и после воздействия  $\omega_k$  в Гц, максимальные во времени перемещения верхнего этажа  $\max |u_{10}|$  и максимальные междуэтажные перемещения на первом этаже  $\max |\Delta u_1|$  (все значения – в см), а также мера повреждений несущих конструкций первого этажа  $D_1$  для трех случаев воздействия. При воздействии интенсивностью  $I = 7$  максимальное междуэтажное перемещение не превышает  $\Delta u_p$ , т.е. все несущие конструкции здания работают в упругой области. Повреждения не возникают, так что жесткость системы не изменяется. В результате воздействия интенсивностью  $I = 8$  здание получает незначительные повреждения, которые, однако, приводят к снижению собственных частот. Начиная с этой интенсивности, снижение собственных частот может рассматриваться как диагностический параметр, характеризующий степень повреждения несущей конструкции. Наиболее существенные изменения параметров здания происходят при сейсмическом воздействии интенсивностью  $I = 9$  баллов. Максимальное перемещение здания составляет 19.23 см на верхнем этаже. Максимальное междуэтажное перемещение на первом этаже достигает 5.83 см, что соответствует коэффициенту податливости (в англоязычной литературе используется термин *ductility*)  $\mu \approx 6$ . Эта величина типична для несущих конструкций многоэтажного здания [15]. Изменение первой собственной частоты составляет 13%.

На фиг. 4, б показано распределение повреждений по этажам здания. Кривые 1 и 2 соответствуют значениям  $I = 8$  и  $I = 9$  соответственно. Как видно, существенные повреждения происходят только на первых этажах здания, что объясняется значительными взаимными смещениями этих этажей в ходе землетрясения (фиг. 4, а).

Одной из характеристик поврежденного здания является его реакция на горизонтальную квазистатическую нагрузку. Такой нагрузкой можно считать, например, постоянную составляющую ветрового напора. В прикладных расчетах принимают, что на единицу площади поверхности сооружения действует ветровая нагрузка, пропорциональная квадрату расчетной скорости ветра. Рассмотрим статическую реакцию здания на горизонтальную нагрузку, вычисляемую для скорости ветра  $v = 30$  м/с. Принимая скорость по высоте постоянной, приложим к каждому этажу горизонтальную нагрузку  $Q = 54$  кН. На фиг. 5 показаны перемещения этажей здания. Кривая 1

соответствует неповрежденному зданию, кривые 2 и 3 построены для поврежденного здания после землетрясения интенсивностью 8 и 9 баллов соответственно. Перемещение неповрежденной конструкции на верхнем этаже достигает 1,17 см. Для здания, поврежденного 8- и 9-балльным землетрясением, с учетом остаточных перемещений эта величина составляет 3,69 и 4,33 см. Заметим [15], что в качестве ограничения на перемещение верхнего этажа здания под действием ветровой нагрузки обычно принимают 1/500 его высоты. Для принятой модели это составляет 6 см. Необходимо отметить, что использованные данные о несущей конструкции соответствовали зданию, рассчитанному согласно существующим нормам на 9-балльные воздействия.

5. Повреждения в элементах конструкций при сильных землетрясениях необходимо учитывать при моделировании их динамического поведения в процессе сейсмического воздействия и для оценки их свойств после землетрясения. Наибольшее изменение при сильных землетрясениях получают низшие собственные частоты сооружения. Это изменение может быть использовано в качестве диагностического параметра для оценки несущей способности поврежденной конструкции и уровня ее надежности.

Работа выполнена при финансовой поддержке Российского фонда фундаментальных исследований (грант 99-01-00252).

#### СПИСОК ЛИТЕРАТУРЫ

1. Newmark N.M., Rosenblueth E.F. Fundamentals of earthquake engineering. New York: Prentice Hall, 1971. 640 р.
2. Болотин В.В., Радин В.П., Чирков В.П. Применение метода статистического моделирования для оценки сейсмического риска конструкций // Изв. РАН. МТТ. 1997. № 6. С. 168–175.
3. Болотин В.В., Радин В.П., Трифонов О.В., Чирков В.П. Влияние спектрального состава сейсмического воздействия на динамическую реакцию конструкций // Изв. РАН. МТТ. 1999. № 3. С. 150–158.
4. Болотин В.В. Статистическая теория сейсмостойкости сооружений // Изв. АН СССР. ОТН. Механика и машиностроение. 1959. № 4. С. 123–129.
5. Bolotin V.V. Statistical theory of the aseismic design of structures // Proc. 2nd World Conf. Earthquake Engineering. Tokyo: WCEE. 1960. V. 2. P. 1365–1374.
6. Болотин В.В. Статистические методы в строительной механике. М.: Стройиздат, 1965. 279 с.
7. Борджес Дж.Ф., Равара А. Проектирование железобетонных конструкций для сейсмических районов. М.: Стройиздат, 1978. 135 с.
8. Bolotin V.V. Seismic risk assessment for structures with the Monte Carlo simulation // Probab. Eng. Mech. 1993. V. 8. № 3/4. P. 169–177.
9. Ogawa J., Abe Y. The stiffness degradation of actual buildings caused by a severe earthquake // Engineering for Protection from Natural Disasters: Proc. Intern. Conf. Bangkok / Eds P. Karasudhi, et al. Chichester et al.: Wiley, 1980. P. 39–50.
10. Поляков С.В. Последствия сильных землетрясений. М.: Стройиздат, 1978. 311 с.
11. Kräitzig W.B. Seismic damage simulation: low cycle fatigue process // Structural Dynamics – Eurodyn'96. Rotterdam: Balkema, 1996. P. 15–22.
12. Williams M.S., Sexsmith R.G. Seismic damage indices for concrete structures: a state-of-the-art review // Earthquake Spectra. 1995. V. 11. № 2. P. 319–349.
13. Болотин В.В. Прогнозирование ресурса машин и конструкций. М.: Машиностроение, 1984. 312 с.
14. Bolotin V.V. Structural integrity under stochastic loading in the area of small probabilities // Nonlinear Stochastic Dynamic Engineering Systems: IUTAM Symp., Innsbruck / Eds. H. Ziegler and G.I. Schuëller. Berlin: Springer, 1988. P. 269–281.
15. Advances in tall buildings. Council on tall buildings and urban habitat / Ed. L.S. Beedle. New York: Van Nostrand Reinhold, 1986. 693 p.

Москва

Поступила в редакцию  
22.03.1999